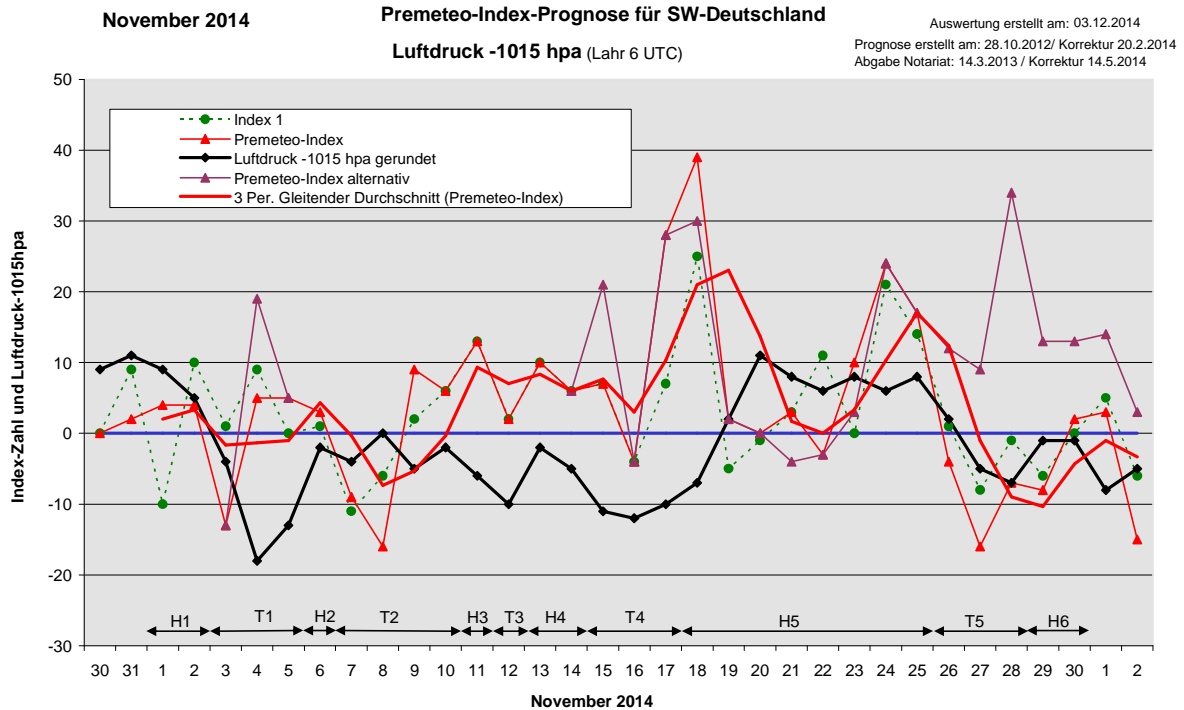


## Wetterlagenverlauf November 2014 im Vergleich zur Premeteo-Indexprognose für Südwest-Deutschland

(Im Diagramm sind über der Datumsachse die real eingetreten Hoch- und Tiefdruckphasen durch Doppelpfeile eingetragen. Ausschlaggebend für die Evaluation ist der tägliche Premeteo-Index, in der dünneren, roten Linie mit Dreieckspunkten dargestellt. Ein negativer Premeteo-Index zeigt die Wahrscheinlichkeit für eine zyklonale Tiefdruckströmung, ein positiver Premeteo-Index die Wahrscheinlichkeit für eine antizyklonale Hochdruckströmung an.

Die Wetterlagenbeschreibungen wurden anhand der Berliner Wetterkarten erstellt. Ausschlaggebend ist die Europa-Bodenkarte um 0 UTC, die feiner skalierte 12 UTC-Karte von Mitteleuropa wird nur bei einem Wetterlagenwechsel für die Einordnung des Tages hinzugezogen. Am Ende des Dokuments befinden sich die Tabellen und Konstellationen, die dem Diagramm zugrunde liegen.)



**Hochdruckphase 1:** Die antizyklonale Lage des Oktobers setzte sich am 1. und 2. November bei flachem positivem Premeteo-Index fort. Der Kern des Hoch Quinn lag am 1. über Süddeutschland, am 2. bereits über dem Ostbalkan. Der Premeteo-Index summierte auf +8.

**Tiefdruckphase 1:** Am 3. bewegte sich konform mit dem negativen Premeteo-Index das mächtige Tief Pia vom Nordatlantik nach Westeuropa und bedeckte am 4. ganz Europa bis nach Russland. Der Premeteo-Index bewegte sich vom 4. bis zum 6. wieder im flach positiven Bereich, doch waren dieser Tiefdruckphase zu Beginn des Monats starke T-Impulse vorausgegangen, die sich am 1. und 2. Oktober noch nicht durchsetzen konnten. Tief Pia bestimmte die Witterung bis zum 5. des Monats. Der Premeteo-Index summierte auf -3.

**Hochdruckphase 2:** Am 6. dominierte kurzzeitig das Azorenhoch. Der Premeteo-Index lag bei +3 Punkten.

**Tiefdruckphase 2:** Tief Roswitha bewegte sich vom 7. bis zum 10. von Island nach Großbritannien und dehnte sich über Westeuropa aus. Der Premeteo-Index summierte auf -10.

**Hochdruckphase 3:** Am 11. bildete sich gemäß dem Premeteo-Index von +13 zwar eine flache antizyklonale Strömung über der Region aus, aber die umgebende, starke Zyklonalität beließ den Luftdruck auf niedrigem Niveau. Deutlich war die durchziehende, antizyklonale Welle auf 500 hpa zu sehen.

**Tiefdruckphase 3:** Der Luftdruck fiel zum 12. bereits wieder ab und Tief Stefanie über dem Atlantik nahm Einfluss auf unser Wetter. Der Premeteo-Index hatte den Wert von +2.

**Hochdruckphase 4:** Am 13. setzte sich ein Hochdruckkeil von der Iberischen Halbinsel über Ostfrankreich und Westdeutschland durch, am 14. war es Hoch Robin über NW-Russland, das flach über Deutschland reichte. Der Premeteo-Index summierte auf +16.

**Tiefdruckphase 4:** Tief Stefanie über dem Atlantik nahm am 15. erneut Einfluss auf unsere Region. Der Premeteo-Index lag noch bei +7. Im Index 2 gab es eine Symmetrie, an dem der Aspekt Eris 135° Orcus beteiligt war, dessen Impuls noch unbekannt ist. Der weitere zyklonale Verlauf des Wetters am 17. und 18. bei hohem positiven Premeteo-Index, weil Eris auch noch an den 120°-H-Symmetrien mit Jupiter und Vesta beteiligt war, lässt einen T-Impuls für Orcus 135° Eris wahrscheinlich werden, aber die Unsicherheit ist diesbezüglich noch groß. Auffallend war für diese Fehlprognosetage das mehrfache Auftreten von Vesta-H\*-Aspekten an insgesamt fünf Symmetriebildungen, die den Index nach oben trieben, aber in der Realität völlig wirkungslos blieben. Zu nennen wäre hier die Symmetrie Varuna 144° Neptun, Vesta. Zugleich war aber auch der Aspekt Varuna 150° Galaktisches Zentrum fast-exakt, der mit großer Wahrscheinlichkeit einen starken Tiefdruck-Impuls hat. Die Verknüpfung der unsicheren, aber hochrangigen, fast-exakten Aspekte von Eris und Varuna mit den aktivierten Symmetrien könnte die Fehlprognose verursacht haben. Das heißt, bei der Bewertung der Symmetrien müsste eventuell ähnlich wie bei den Konjunktionen darauf geachtet werden, dass vor allem der ranghöchste an der Symmetrie beteiligte Planet nicht gerade einen fast-exakten, noch höher rangigen Aspekt mit gegenteiligem Impuls bildet. Der Premeteo-Index summierte über die drei zyklonalen Tage auf +31.

**Hochdruckphase 5:** Am 18. bildete sich bei kräftigem Druckanstieg im Laufe des Vormittags eine Hochdruckzone zwischen dem okkludierten Tief Thea I über Nordwestfrankreich und dem okkludierten Tief Thea II über Norditalien aus. Durch Nebel und Hochnebel gab es nur vereinzelt Sonnenschein am 19. und 20. Das kräftige, russische Hoch Robin bestimmte nun mit abgeschwächtem Einfluss die Wetterlage bis zum 25. November. In den Tallagen bildete sich häufig Nebel und Hochnebel. Der Premeteo-Index summierte über die ganze Phase auf +92.

**Tiefdruckphase 5:** Während auf 500 hpa noch ein Höhenkeil bestehen blieb, entwickelte sich am 26. durch Tief Wanja über Westfrankreich eine flache, zyklonale Strömung bis Südwestdeutschland. Es war neblig trüb bewölkt, und es kam kaum zu Niederschlag. Am 28. erreichte die Vorderseite des Atlantiktiefs Xandra noch die Region. Der Premeteo-Index summierte auf -27.

**Hochdruckphase 6:** Am 29. und 30. nahm erneut Hoch Robin über Russland Einfluss und antizyklonalisierte die Strömung. Hoch Robin hatte seine Laufbahn schon am 12. November begonnen. Es wanderte vom Nordmeer über Skandinavien nach Russland, wo es weitgehend stationär wurde. Am 29. lag der Premeteo-Index noch bei -8 Punkten, denn durch die Auslösung von Varuna 150° GaZ durch die Konjunktion von Vesta mit dem GaZ war der H\*-Aspekt Vesta 150° Varuna nicht angerechnet worden (nur im alternativen Premeteo-Index), aber im exakten Moment schien er sich doch bemerkbar zu machen, in dem sich das russische Hoch noch mal kurzzeitig verstärkte. Der Premeteo-Index summierte auf -6.

### **Zusammenfassung:**

Die Premeteo-Indexprognose des November 2014 war ursprünglich am 28.10.2012 erstellt worden, wurde aber am 20.2.2014 nachkorrigiert, da der Wetterverlauf im Zeitraum davor zeigte, das Varuna 150° GaZ mit großer Wahrscheinlichkeit einen zyklonalen Impuls vermittelte und dass das Computerprogramm zum Index 3 noch nicht optimal für die lang andauernden Konjunktionen von hochrangigen Positionen, wie denen der Kuipergürtelplaneten untereinander oder mit den Galaktischen Zentren ausgerüstet worden war. Es fehlten noch bestimmte Abfragen, die per Hand nachgearbeitet werden mussten. Der Wetterverlauf des November 2014 zeigte nun, dass die Korrektur sich bewährt hatte. (Die korrigierten Tage wurden in den Tabellen rot hinterlegt.)

21 Tage waren bezüglich des Strömungstyps der Wetterlagen richtig prognostiziert. Acht der neun Fehlprognosetage ereigneten sich bei einem Premeteo-Index von unter 10 Punkten. Eine Ausnahme bildete der 17. November, an dem bei einem Index von +28 eine zyklonale

Strömung auftrat. Sie hatte mit einer Häufung von Symmetriebildungen zu tun, an denen Vesta beteiligt war und die in der Kombination der Rangordnungen offensichtlich nicht angemessen durchgeführt worden waren. (Siehe Text Fehlprognosen zum 17.11.2014).

Auffallend für die momentane, subjektive Gesamtkonstellation der Erde ist, dass ab dem 4. November der Kuipergürtelplanet Makemake in den Konjunktionsbereich von  $\pm 1^\circ$  mit dem Supergalaktischen Zentrum eingetreten ist und ab dem 30. auch der Kuipergürtelplanet Quaoar mit dem Galaktischen Zentrum. So werden wir nun Zeuge eines seltenen, kosmischen Positionsverhältnisses. Die Regeln zur Erstellung des Premeteo-Index scheinen sich mit den eingearbeiteten Korrekturen zu bewähren und lassen uns gespannt auf die Wetterlagenverläufe der nächsten Monate schauen.

SW-D befand sich an 16 Tagen im Einflussbereich antizyklonaler Strömung. Die Summe des prognostizierten Premeteo-Index für diese Tage ergab +126, das einer Indexzahl von +7,9 pro Tag entsprach.

An 14 Tagen befand sich SW-D im Einflussbereich zyklonaler Strömung. Die Summe des prognostizierten Premeteo-Index für diese Tage ergab -7, das einer Indexzahl pro Tag von -0,5 entsprach.

Die Prognose durch die Premeteo-Wettersymbole war an 5 Tagen falsch (am 11., 13., 17., 18. und 25. ), an 10 Tagen richtig und an 15 Tagen tendenziell richtig.

**03.12.2014**  
**November 2014**  
**01.11.2014**

**Prognose SW-Deutschland**  
mit Korrektur Quaoar- und Makemake-Aspekten (Zellen hellrot hinterlegt)

Am 2., 3., 24. tritt der unbekannte Aspekt Hau 180 Eri ?? im Index 3 auf, am 15., 24. der unbekannte Aspekt Orc 135 Eri.  
**Ab dem 4. beginnt die lange währende Konjunktion von Makemake mit dem GSZ.**  
**Ab dem 30. beginnt die lange währende Konjunktion von Quaoar mit dem GaZ.**  
Vom 26.bis 30. tritt im Index 3 die kritische Auslösung Var 150 GaZ 17?(1/4) -11/0 auf.  
Am 26. und 27. ist die Dreier-Konjunktion Qua-Vesta-Galakt. Zentrum exakt.  
Insgesamt treten 11 Konjunktionen auf.

Langsamläufer-Impulse	2T*, H*	2H*, Hf*	H*					H*		H*
Schnellläufer-Impulse	3T, Tf	H	2T, Tf	Hf	H, T	H, Tf	3T	2T	T	H, Hf
Temperaturimpulse	3W, K						K		K	K
Premeteo-Index -zyklonal, + antizyklonal (Index 1+2+3)	4	4	-13	5	5	3	-9	-16	9	6
Pre.IX (ALTERNATIV)				19						
Index 1 (12 - 12 UTC) exakte Aspekte des Tages	-10	10	1	9	0	1	-11	-6	2	6
Index 1(ALTERNATIV)										
Symmetrien (0 - 0 UTC)	Mar 7 Plu GaZ (01) Hf A +7?		Mar 59 Nep Pal (01) Tf W A A' -14	Eri 10p Hau Mer (01) ?* Tf -14/0 Sed 149 Qua Mer (09) A'(9) A H---	Sat 9 Ven Cer (03) AK H* +7?		Sat 10 Son Cer (11) A K H* +7? Chi 135 Var Mer (22) A?(5,5/3) T A -7	Ura 144 Ven Orc (14) A H?(6,0,5) A +7/0		Sat 23 Ves Mer (10) T ---
Index 2 (12 -12 UTC)	14		-14	-14	0	0	0	-7	7	0
Index 2 ALTERNATIV				0						
ausgelöste LL-Aspekte		Jun 72 Hau H5 Orc 45 Hau T-11 Hau 180 Eri ?*	Jup 60 Hau H6 Jun 72 Hau H5 Orc 45 Hau T-11 Hau 180 Eri ?*	Cer 60 GSZ H5 Ves 72 GSZ H5	Ves 72 GSZ H5	Ven 45 GSZ H2	Ven 45 GSZ H2	Son 45 Mak T-3		
Index 3 (Summe)		-6	0	10	5	2	2	-3	0	0
Index 3 ALTERNATIV										
Symbol-Prognose	3	3	3	3	3	3	3	5	3	3
Symbol-Prognose altern.	3	3	3	2	3	3	3	5	3	3
Wochentag	Sa	So	Mo	Di	Mi	Do	Fr	Sa	So	Mo
Datum	1	2	3	4	5	6	7	8	9	10
reale Wetterlage	H1: Hf*, 3H*, 1H - 2T*, Tf, 3T / +8	T1: Tf, 3T - H*, Hf, H / -3				H2: H - Tf / +3	T2: 6T - 2H*, H, Hf / -10			
Luftdruck (hpa) 06 UTC	1024,1	1020,3	1010,7	996,9	1002,1	1013	1011,1	1015	1010	1013,1
mittl. Temp.(°C)	10	11,9	13,9	11	7,7	7	7,2	9,1	6,5	8,4
Sonnenscheindauer (h)	7,3	7,3	1,8	0,1	0	5,3	3,4	7,6	1,1	0
Niederschlag (Liter)	0	0	0,5 / 0,5	13,7 / 12	6,9 / 3	0	1,2	0	0,4	2,6 / 2
Bodenwetterlage 00 UTC (Kernlage des Druckgebiets, das SW-D beeinflusst)	H ü S-D	H ü O-Balk, T ü Schottl-Isl	T ü Nm	T-Syst mit Kernen ü Iber, GB, S- u N-Skandinavien	T ü Benel T ü GG, T ü N-D	Azor-H, T ü GG, T ü NO-D	T s Island, T ü Balli, T ü S-Mm	T zw Isl u GB	T ü GB, Pyren u W-F	fl P-Grad, okkl T ü Nm
Bodenströmung 12 UTC zyklonal (z), antizyklonal (a)	a	a	z	z	z	a	fl z	a	fl a	a
Strömung auf 500 hpa 00 UTC	a	SW fl a	SW fl z	SW z	SSW z	SSW z	W fl z	SW z	SW fl z	SW z
zutreffende Wettersymbole	2-5 r	2-3 hr	3-5 r	5 hr	5 hr	3 r	3-5 r	3 hr	3 r	5 hr

Übertrag:  
Index 1: 0  
Index 2: +14

VEN 45 QUA SKO 10*17'53" SCH 25*17'53" T -2	02:05	JUN 72 EL6 LOW 09*32'18" WAA 21*32'18" H* +5	00:12	MAR 135 JUP STE 05*38'09" LOW 20*38'09" T -4	00:48	PAL 60 ORC SKO 06*54'53" JUN 06*54'53" A*	03:52	MER 150 SED WAA 24*31'41" STI 24*31'42" A	00:38	MER 72 MAR WAA 25*54'46" STE 07*54'46" A	01:47	VEN 30 KN1 SKO 17*50'40" WAA 17*50'39" T K -2	02:32	MAR 135 SED STE 09*29'48" STI 24*29'48" A	04:22	SON 45 GSZ SKO 17*15'50" WAA 02*15'49" H* +5	18:16	JUN 135 GaZ LOW 11*56'53" SCH 26*56'53" H* +5	00:44
VES 135 VAR KRE 27*58'23" T* -5	03:02	SON 90 JUN SKO 09*33'34" LOW 09*33'35" A	01:47	MER 180 ERI WAA 22*28'50" WID 22*26'50" Tf -7	08:09	CER 45 KN1 SCH 02*59'46" WAA 17*59'46" A*	05:42	MAR 60 PAL STE 07*32'31" SKO 07*32'31" A	13:55	SAT 180 SED SKO 24*30'50" WAA 27*34'53" A'(5/4,5)	11:08	MER 60 APO LOW 27*34'54" T -2	06:49	VEN 144 URA SKO 19*19'43" WID 13*19'44" A	06:56	VEN 90 JUP SKO 21*18'11" LOW 21*18'10" T K -2	20:43	VES 60 KN1 SCH 17*40'55" WAA 17*40'55" A*	04:05
SON 72 APO SKO 08*55'53" LOW 26*55'53" T W -3	10:43	URA 120 VES WID 13*32'01" SCH 13*32'01" A*	04:59	VEN 120 CHI SKO 13*17'47" FIS 13*17'46" A K	11:29	SON 45 GaZ SKO 11*56'53" SCH 26*56'53" Hf +9	11:03	MER 60 QUA WAA 25*23'23" SCH 25*23'24" H +1	16:25	VEN 45 GSZ SKO 17*15'49" WAA 02*15'48" H +2	15:25	MER 90 VAR WAA 27*57'29" KRE 27*57'27" A	13:13	MAR 45 SAT STE 09*45'27" SKO 24*45'28" T -4	12:41	MER 30 FY9 SKO 01*23'15" WAA 01*23'14" A	21:39	SON 30 KN1 SKO 17*40'54" WAA 17*40'54" H K +3	04:15
MER 60 JUP WAA 20*28'24" LOW 20*28'23" AW	12:46	VEN 45 GaZ SKO 11*56'55" SCH 26*56'54" H +2	09:41	VES 72 GSZ SCH 14*15'48" WAA 02*15'47" H* +5	14:43	JUN 135 QUA LOW 10*22'07" SCH 25*22'07" A*	15:25	SON 120 CHI SKO 13*15'17" FIS 13*15'17" A	18:21	MER 60 GaZ WAA 26*56'52" SCH 26*56'53" Tf -7	18:21	MER 135 CHI WAA 28*13'21" FIS 13*13'22" A	19:56	PLU 150 JUN STE 11*32'21" LOW 11*32'21" A*	17:41	13:55	SON 30 VES SKO 17*41'24" SCH 17*41'24" A	04:27	
GaZ 120 APO SCH 26*56'54" LOW 26*56'54" H* +12	14:22	CER 60 GSZ SCH 02*15'47" WAA 02*15'47" H* +11	10:51	VEN 150 URA SKO 13*29'04" WID 13*29'03" A	15:05	VEN 30 VES SKO 14*49'44" SCH 14*49'43" A	16:49	VEN 45 FY9 SKO 16*18'55" WAA 01*18'55" T -2	21:16	VEN 72 ORC SKO 18*57'27" JUN 06*57'27" A	15:25	MER 72 ORC WAA 29*32'28" STE 11*32'28" A	17:41	13:55	15:38	VEN 30 EL6 SKO 21*43'29" WAA 21*43'30" A	04:47		
VES 72 FY9 SCH 13*14'06" WAA 01*14'07" T* -10	15:10	MER 0 EL6 WAA 21*33'02" WAA 21*33'04" A	13:15	SON 60 PLU SKO 11*26'23" STE 11*26'22" T ---	22:52	MAR 120 ORC STE 06*55'18" JUN 06*55'18" A	18:03	SON 150 URA SKO 13*24'25" WID 13*24'24" A	22:00	VEN 72 ORC SKO 18*57'27" JUN 06*57'27" A	15:46	NEP 90 CER FIS 04*48'55" SCH 04*48'56" H* +5	20:53	SON 45 FY9 SKO 16*22'10" WAA 01*22'08" T -3	20:53	MER 30 GSZ SKO 02*15'50" WAA 02*15'50" A	11:40	MAR 0 PLU STE 11*35'38" STE 11*35'38" Hf +10	23:07
CHI 90 VES FIS 13*19'45" SCH 13*19'45" A*	19:31	SAT 144 KN2 SKO 24*04'33" WID 18*04'33" H* (14/6) +7	17:33																
VEN 60 PLU SKO 11*23'57" STE 11*23'58" T K ---	23:10	MER 72 JUN WAA 21*46'41" LOW 09*46'40" A	18:09																
MAR 60 NEP STE 04*51'23" FIS 04*51'22" Tf W -10	23:45	SON 45 QUA SKO 10*19'59" SCH 25*19'57" A	20:20																
		MER 45 ORC WAA 21*53'57" JUN 06*53'57" A	20:44																

November 2014



Prognose SW-Deutschland  
mit Korrektur Quaoar- und Makemake-  
Aspekten (Zellen hellrot hinterlegt)

Am 2., 3., 24. tritt der unbekannte Aspekt Hau 180 Eri ?\* im Index 3 auf, am 15., 24. der unbekannte Aspekt Orc 135 Eri.  
**Ab dem 4. beginnt die lange währende Konjunktion von Makemake mit dem GSZ.**  
**Ab dem 30. beginnt die lange währende Konjunktion von Quaoar mit dem GaZ.**  
Vom 26. bis 30. tritt im Index 3 die kritische Auslösung Var 150 GaZ T?\*(1/4) -11/0 auf.  
Am 26. und 27. ist die Dreier-Konjunktion Qua-Vesta-Galakt. Zentrum exakt.  
Insgesamt treten 11 Konjunktionen auf.

Langsamläufer-Impulse		H*	H*	H*			H*, H?*	2H*		
Schnellläufer-Impulse	2T, H		T, H, Hf	T, Hf	3H, T, Hf	2T	H, T	H, T	2T	2H, T
Temperaturimpulse	W?	W	K	K	K, K?			K	W	K
Premeteo-Index -zyklonal, + antizyklonal (Index 1+2+3)	13	2	10	6	7	-4	28	39	2	0
Pre.IX (ALTERNATIV)					21			30		
Index 1 (12 - 12 UTC) exakte Aspekte des Tages	13	2	10	6	7	-4	7	25	-5	-1
Index 1 (ALTERNATIV)					21			16		
Symmetrien (0 - 0 UTC)	Ura 144 Son Orc (22) T H?*(6/0.5) A?	Hau 45 Orc Cer (21) T H* A* -??			Eri 135 Orc Cer (12) ?* A* A*?	Var 143 Nep Ves (13) H* H* A* W+14	Jup 120 Ves Eri (09) H* H* A* +?	Hau 60 Jup Ves (03) H* A* H* +? Ves 120 Jup Eri (16) H* A* H* +?	Qua 22 Ven Mar (11) T ... Eri 120 Jup Ves (12) H* A* H* #	GaZ 22 Ven Mar (17) T ...
Index 2 (12 -12 UTC)	0	0	0	0	0	0	21	7	7	0
Index 2 ALTERNATIV										
ausgelöste LL-Aspekte								Jun 90 Pal H5 Ven 60 Mak H+2		Mer 45 GSZ H1
Index 3 (Summe)	0	0	0	0	0	0	0	7	0	1
Index 3 ALTERNATIV										
Symbol-Prognose	2	3	2	3	3	3	2	2	3	3
Wochentag	Di	Mi	Do	Fr	Sa	So	Mo	Di	Mi	Do
Datum	11	12	13	14	15	16	17	18	19	20
reale Wetterlage	H3: H - 2T / +13	T3: H* / +2	H4: 2H*, 2Hf, H - 2T / +16	T4: 4T- 2H*, Hf, 4H / +31				H5: 5H*, Hf, 8H - 8T / +92		
Luftdruck (hpa) 06 UTC	1009,5	1004,8	1012,8	1010,3	1004,4	1003,4	1005,1	1008,1	1017,2	1025,9
mittl. Temp.(°C)	6,8	8	9,8	9	9,7	9,9	8,9	8,8	7,6	4,5
Sonnenscheindauer (h)	0	0	0,1 / Nebel	3,5	0,2	1,5	0,8	1,1	2,5	0 Nebel
Niederschlag (Liter)	0	7,6 / 10	0	0	30,8 / 29	0,1 / 4	5,6 / 4	0	0	0
Bodenwetterlage 00 UTC (Kernlage des Druckgebietes, das SW-D beeinflusst)	H ü Balk, T w Irl	T mit Kernen ü GB, W-Mm	H-Keil von Iber	H ü NW-R, T ü NM-Atl	T ü NO-Atl	T ü Ärmel, T ü Nsee, T ü S-D, T ü GG	T ü Nsee	T ü NW-F, T ü Nitalien, fl H ü Iber, st H ü M-R	H ü CH	H ü M-R
Bodenströmung 12 UTC zyklonal (z), antizyklonal (a)	fl a	fl a	fl a	fl a	fl a	z	a-z	fl a	a	fl a
Strömung auf 500 hpa 00 UTC	SW fl a	S a-z	fl S a	W a	SW fl z	W z	SSW z	SW z	NO z	W a
zutreffende Wettersymbole	3-5 f	5 hr	5 f	3 r	5 hr	5 hr	5 f	5 f	3 r / im Rheintal überwiegt, sonnig	5 hr

01:48	03:39	00:38	03:07	03:17	13:22	03:40	00:08	05:38	00:08
MER 45 VES SKO 03°09'20" SCH 18°09'20" T ...	MER 120 NEP SKO 04°48'12" FIS 04°48'14" A W	MAR 60 CHI STE 13°09'16" FIS 13°09'17" T-4	SON 90 JUP SKO 21°39'22" LÖW 21°39'22" A K	VEN 120 VAR STE 15°50'04" SKO 27°55'10" KRE 27°55'08" H--+2	MAR 144 JUP STE 15°50'04" LÖW 21°50'03" T-4	<b>JUP 60 EL6</b> WAA 21°52'31" H*+6	VEN 60 FY9 SCH 01°31'10" WAA 01°31'09" H+2	SON 45 PLU STE 11°48'04" STE 11°48'04" T-3	MER 30 KN1 SKO 17°09'42" WAA 17°09'40" A
04:24	05:09	01:03	03:24	07:04	13:58	03:52	01:20	09:07	01:42
PAL 72 APO SKO 10°00'58" LÖW 28°00'58" A*	MAR 150 JUN STE 12°32'24" LÖW 12°32'24" A	<b>VEN 0 SAT</b> SKO 25°17'35" SKO 26°40'14" SKO 25°17'37" AK	VEN 45 PLU SKO 26°40'14" STE 11°40'14" A	VEN 135 URA SKO 28°07'02" WID 13°07'01" H--+2	MER 60 PLU SKO 11°43'55" STE 11°43'55" T-1	<b>MER 0 PAL</b> SKO 12°38'54" SKO 13°02'29" A	URA 150 PAL WID 13°02'28" SKO 13°02'29" A	SON 30 GaZ SKO 26°56'51" SCH 26°56'52" A	MER 45 GSZ WAA 01°32'36" KRE 27°52'49" H+1
06:01	08:33	01:29	06:53	11:17	17:15	10:05	02:36	14:47	07:17
MER 72 JUP SKO 03°25'22" LÖW 21°25'24" H+1	<b>PAL 45 QUA</b> SKO 10°31'60" SCH 25°32'00" H*+5	MAR 90 URA STE 13°10'53" WID 13°10'54" A	SON 30 EL6 SKO 21°48'51" WAA 21°48'52" T-2/...	VEN 144 ERI SKO 28°20'15" WID 22°20'15" T-2/...	MER 45 GaZ SKO 11°56'54" SCH 26°56'52" H+1	MER 150 URA SKO 13°03'31" WID 13°03'30" H+1	SON 30 QUA SKO 25°39'53" SCH 25°39'53" T-...	MER 45 FY9 SKO 16°32'34" WAA 01°32'36" T-...	SON 120 VAR SKO 27°52'48" KRE 27°52'49" A
11:33	09:00	03:07	08:42	13:38	20:41	10:59	04:43	21:56	09:41
SON 72 ORC SKO 18°59'32" JUN 06°59'32" A	<b>VEN 180 SED</b> SKO 24°27'15" STI 24°27'14" A	MAR 135 APO STE 13°13'58" LÖW 28°13'58" T-2	VEN 30 GaZ SKO 26°56'52" SCH 26°56'53" T-2	PAL 45 GaZ SKO 11°56'52" SCH 26°56'52" A*	<b>SON 180 SED</b> SKO 24°24'29" STI 24°24'28" A	MER 120 CHI SKO 13°07'04" FIS 13°07'02" A	<b>VEN 144 VAR</b> FIS 21°53'49" KRE 27°53'50" H*+5	NEP 72 VES SCH 04°48'10" SCH 22°48'10" A W	SON 135 URA SKO 27°58'51" SCH 22°48'10" WID 12°58'50" A
16:41	18:02	06:02	11:16	14:33		22:04	04:43	14:57	
VEN 144 KN2 SKO 23°36'04" WID 17°36'04" A W?	URA 135 APO WID 13°11'27" LÖW 28°11'27" A*	VEN 30 QUA SKO 25°33'13" SCH 25°33'12" H+2	<b>URA 30 CHI</b> WID 13°08'26" FIS 13°08'26" H* (8/3) +8	VEN 90 APO SKO 28°30'30" LÖW 28°30'32" Hf K--+8		URA 144 ORC WID 13°02'41" JUN 07°02'41" H?*(6/0.5) +9/0	VEN 60 EL6 SCH 21°53'49" WAA 21°53'50" A*	VEN 90 NEP SCH 04°48'17" FIS 04°48'16" T K-2	
17:02		10:26	13:02	16:37		23:43	05:14	17:07	
SON 144 URA SKO 19°13'18" WID 13°13'19" T-3		MER 30 CER SKO 06°47'22" SCH 06°47'21" Hf+7	URA 120 JUN WID 13°08'18" LÖW 13°08'18" A*	SAT 30 QUA SKO 25°36'32" SCH 25°36'32" A*		MER 90 JUN SKO 13°57'32" LÖW 13°57'33" T-1	CHI 120 PAL FIS 13°06'46" SKO 13°06'46" A*	SON 144 ERI SKO 28°17'37" WID 22°17'38" H+3	
		10:51	13:10	19:44			07:12		
		<b>CER 45 EL6</b> SCH 06°47'47" WAA 21°47'47" H*+5	CHI 150 JUN FIS 13°08'23" LÖW 13°08'23" A*	MER 72 APO SKO 10°31'57" LÖW 28°31'58" A			<b>JUP 120 VES</b> LÖW 21°57'06" SCH 21°57'06" H*+10		
		13:51	18:34	20:14			08:52		
		MER 60 ORC SKO 07°00'40" JUN 07°00'40" A	CER 135 ERI SCH 07°20'36" WID 22°20'36" A*	SON 144 KN2 SKO 23°22'53" WID 17°22'54" A K?			<b>SON 0 SAT</b> SKO 25°55'41" SKO 25°55'41" A K		
		23:30	19:30	20:58			09:50		
		CER 90 ORC SCH 07°00'52" JUN 07°00'52" A*	SON 150 ERI SKO 22°20'36" WID 22°20'35" Hf+9	MER 45 QUA SKO 10°36'49" SCH 25°36'47" H+1			MAR 90 KN1 STE 17°14'44" WAA 17°14'44" A		
			23:40				13:51		
			PLU 60 PAL STE 11°41'30" SKO 11°41'30" A*				VEN 45 KN1 SCH 02°14'12" WAA 17°14'13" A		
							14:23		
							VEN 60 GSZ SCH 02°15'53" WAA 02°15'53" A		
							20:30		
							VEN 45 MAR SCH 02°35'04" STE 17°35'04" T-2		
							23:26		
							VEN 120 ERI SCH 22°18'30" WID 22°18'29" A*		

November 2014



Prognose SW-Deutschland  
mit Korrektur Quaoar- und Makemake-  
Aspekten (Zellen hellrot hinterlegt)

Am 2., 3., 24. tritt der unbekannte Aspekt Hau 180 Eri ?\* im Index 3 auf, am 15., 24. der unbekannte Aspekt Orc 135 Eri.  
**Ab dem 4. beginnt die lange währende Konjunktion von Makemake mit dem GSZ.**  
**Ab dem 30. beginnt die lange währende Konjunktion von Quaoar mit dem GaZ.**  
Vom 26. bis 30. tritt im Index 3 die kritische Auslösung Var 150 GaZ T2\*(1/4) -11/0 auf.  
Am 26. und 27. ist die Dreier-Konjunktion Qua-Vesta-Galakt. Zentrum exakt.  
Insgesamt treten 11 Konjunktionen auf.

Langsamläufer-Impulse		H*	H*		H*		H*, 2H*	T*	H*	
Schnellläufer-Impulse	2T, H, Hf	2T	H	2H	H	2H, T	3T, 2H	2T	3T	
Temperaturimpulse						K?, W?, W	2W			W
Premeteo-Index - zyklonal, + antizyklonal (Index 1+2+3)	3	-3	10	24	17	-4	-16	-7	-8	2
Pre.IX (ALTERNATIV)	-4		3				12	9	34	13
Index 1 (12 - 12 UTC) exakte Aspekte des Tages	3	11	0	21	14	1	-8	-1	-6	0
Index 1 (ALTERNATIV)								19	4	
Symmetrien (0 - 0 UTC)	Ura 144 Orc Mer (02) H?*(6/0,5) T T 0/-7	Hau 45 Ven Orc (07) T T T-14 Eri 135 Ven Orc (18) A ?* T?	Qua 1 Ves GaZ (09) H* ?* +7/0	Mer 8 Son Pal (03) H A +7? Orc 135 Mar Eri (19) A ?* A? Mar 90 Eri Hau (19) A A ?* ? Son 8 Ven Mer (20) A W H +7?	Ven 15 Sat Ves (21) H* 0	Ven 15 GaZ Mer (13) H --- Ves 0 Qua GaZ (18) H* H* 0/+14 Var 135 Ven Chi (19) T A?*(5,5/3) A W -7		Mak 46 Pal Jun (02) A* H* H* +7	Mer 5 Son Sat (12) H A K? 0 Index1 GaZ 1 Ves Qua (15) H* ?* ? Eri 135 Son Orc (16) T ?* A?	Ura 144 Pal Orc (09) A* ?* T* ?
Index 2 (12 - 12 UTC)	0	-14	7	0	0			-7	7	0
Index 2 ALTERNATIV	-7		0					7		
ausgelöste LL-Aspekte			Son 60 Mak H +3	Son 60 GSZ H3	Son 60 GSZ H3	Mer 30 GaZ H1 Ves 30 Sat H 0/+5 Pal 45 GSZ H5 Var 150 GaZ T2*(1/4) -11/0 Jun 45 Mak H* +5	Pal 45 GSZ H5 Var 150 GaZ T2*(1/4) -11/0 Jun 45 Mak H* +5	Ven 72 GSZ T-2 Pal 45 GSZ H5 Var 150 GaZ T2*(1/4) -11/0 Jun 45 Mak H* +5	Mer 60 GSZ T-1 Pal 45 GSZ H5 Var 150 GaZ T2*(1/4) -11/0 Jun 45 Mak H* +5	Mer 60 GSZ T-1 Mar 30 GaZ H4 Pal 45 GSZ H5 Var 150 GaZ T2*(1/4) -11/0 Jun 45 Mak H* +5
Index 3 (Summe)	0	0	3	3	3	-5	-1	-13	-2	2
Index 3 ALTERNATIV						11	10	8	9	13
Symbol-Prognose	3	3	2	2	2	3	5	3	3	3
Wochentag	Fr	Sa	So	Mo	Di	Mi	Do	Fr	Sa	So
Datum	21	22	23	24	25	26	27	28	29	30
reale Wetterlage						T5: T*, 6T - 2H*, Hf*, 4H / -27			H6: H* - 3T / -6	
Luftdruck (hpa) 06 UTC	1022,9	1021,4	1022,9	1020,8	1023	1016,5	1010,4	1008,4	1013,8	1013,8
mittl. Temp.(°C)	7	5,7	5,5	8,8	7,7	7,4	6,8	5,2	4	3,7
Sonnenscheindauer (h)	0,7 Nebel	0 Nebel	0 Nebel	4,9	0	1,7	0	0	0 Nebel	0 Nebel
Niederschlag (Liter)	0	0	0	0	0	0,2	0	0	0	0
Bodenwetterlage 00 UTC (Kernlage des Druckgebiets, das SW-D beeinflusst)	H ü M-R	H ü M-R mit Kern ü O-Alpen	H ü W-R	H ü M-R	H ü S-GB, H ü SO-R	T ü W-F	fl T ü Ärmel	T ü O-Atl	H ü M-R, T sw Portugal	H ü W- u SO-R
Bodenströmung 12 UTC zyklonal (z), antizyklonal (a)	a-z	a	fl a	a	fl a	a-z	a-z	a-z	fl a	a-z
Strömung auf 500 hpa 00 UTC	NW a	NW a	SW a	SW a	a	W a	SW a	S a-z	a	W a
zutreffende Wettersymbole	5 hr	2-5 r	2-5 hr	3 hr	5 f	5 hr	5 r	5 hr	2-5 r	3-5 hr

03:20	04:10	01:10	07:33	00:57	02:38	00:07	00:50	03:50	00:42
MER 144 URA SKO 18°57'45" WID 12°57'45" T-1	<b>PAL 90 JUN</b> SKO 14°50'50" LÖW 14°50'50" H* +5	MER 30 EL6 WAA 21°59'46" A	<b>SON 45 KN1</b> SCH 01°55'60" WAA 16°55'59" H +6	MAR 150 JUP STE 22°19'10" LÖW 22°19'10" H +4	<b>MER 0 SAT</b> SKO 26°50'58" SKO 26°50'59" A K?	VEN 135 VAR SCH 12°48'58" KRE 27°48'58" T-2	MER 90 APO SKO 29°53'37" LÖW 29°53'36" T-1	MER 60 FY9 WAA 01°40'10" A*	CER 72 FY9 SCH 13°40'46" WAA 01°40'46" A*
04:54	08:35	04:45	12:27	09:07	04:07	00:23	03:50	03:56	01:02
MER 72 ORC SKO 19°03'59" JUN 07°03'57" T-2	VEN 45 EL6 SCH 06°58'56" WAA 21°58'55" T-2	MER 90 JUP SKO 22°13'59" LÖW 22°13'58" A	<b>MER 180 SED</b> SKO 24°19'44" STI 24°19'45" A	MER 30 VES SKO 25°41'37" SCH 25°41'37" A	MER 30 GaZ SKO 26°56'51" SCH 26°56'52" H +1	VEN 120 URA SCH 12°49'49" WID 12°49'50" H W ---	VEN 72 GSZ SCH 14°15'57" WAA 02°15'58" T-2	MER 45 KN1 SCH 01°40'11" WAA 16°40'34" A	VEN 60 KN1 SCH 16°37'48" WAA 16°37'47" A W
14:02	10:19	05:22	15:26	11:22	04:50	04:21	09:06	08:00	20:01
MER 60 MAR SKO 19°40'15" STE 19°40'15" A	VEN 90 ORC SCH 07°04'22" JUN 07°04'21" T-2	MER 150 ERI SKO 22°16'26" WID 22°16'27" A	SON 60 GSZ SCH 02°15'56" WAA 02°15'56" H +6	MER 30 QUA SKO 25°50'32" SCH 25°50'33" A	MER 45 PLU SKO 26°59'41" STE 11°59'40" A	SON 90 NEP SCH 04°50'01" FIS 04°50'01" T-3	<b>ORC 45 EL6</b> JUN 07°05'52" WAA 22°05'52" T*-11	<b>VES 150 VAR</b> SCH 27°47'26" KRE 27°47'25" H* 0 / +10	VES 72 KN1 SCH 28°35'15" WAA 16°35'16" A*
14:03	14:16	15:51	15:49	16:05	06:18	05:34	15:40	10:05	
<b>SON 90 APO</b> SKO 29°10'30" LÖW 29°10'30" H +3	VEN 135 ERI SCH 07°16'46" WID 22°16'45" A	MER 144 KN2 SKO 22°58'02" WID 16°58'03" A	MAR 90 EL6 STE 22°01'38" WAA 22°01'38" A	<b>VES 0 QUA</b> SCH 25°50'51" SCH 25°50'51" H* +10	PAL 45 FY9 SKO 16°38'03" WAA 01°38'03" A*	VEN 90 CHI SCH 13°06'05" FIS 13°06'06" A W	CHI 90 CER SCH 13°06'25" SCH 13°06'25" A*	SON 90 ORC SCH 07°06'02" JUN 07°06'02" A	
18:20	20:03	22:28	17:36	23:03	08:29	14:42	10:28		
MAR 45 NEP STE 19°48'28" FIS 04°48'28" Hf +10	VES 150 SED SCH 24°20'47" WID 22°20'47" A*	<b>JUP 120 ERI</b> LÖW 22°16'08" WID 22°16'07" H* +6	MAR 135 ORC STE 22°05'03" JUN 07°05'02" A	PLU 30 CER STE 11°59'15" SCH 11°59'15" A*	VEN 30 PLU SCH 11°59'55" STE 11°59'56" A W?	MAR 120 SED STE 24°17'52" STI 24°17'52" T-4	SON 45 EL6 SCH 07°07'00" WAA 22°07'01" A		
		23:45	23:08		12:50	16:05	12:55		
		SON 60 FY9 SCH 01°36'16" WAA 01°36'17" H +3	MAR 90 ERI STE 22°15'40" WID 22°15'40" A		<b>VEN 0 CER</b> SCH 12°13'34" SCH 12°13'34" A W	VEN 72 FY9 SCH 13°39'05" WAA 01°39'06" H +2	MER 60 GSZ SCH 07°06'00" WAA 02°15'59" T-1		
					15:54	16:44	13:06		
					PAL 30 KN1 SKO 16°48'31" WAA 16°48'31" A*	SAT 45 PLU SKO 27°02'17" STE 12°02'17" A*(3,5/5,5)	SON 135 ERI SCH 07°13'40" WID 22°13'40" T-3		
					17:20	17:06	15:05		
					MER 120 VAR SKO 27°49'08" KRE 27°49'09" T ---	<b>PAL 45 GSZ</b> SKO 17°15'57" WAA 02°15'58" H* +11	VEN 120 JUN SCH 16°06'35" LÖW 16°06'34" T-2		
					17:36	17:54	18:09		
					MER 135 URA SKO 27°50'11" WID 12°50'11" A	<b>VES 0 GaZ</b> SCH 26°56'53" SCH 26°56'52" H* 0 / +10	MAR 30 QUA STE 25°56'58" SCH 25°56'59" A		
					22:14	22:18			
					MAR 144 APO STE 23°46'11" LÖW 29°46'12" A	CER 135 VAR SCH 12°48'22" KRE 27°48'22" A*			
					22:29	22:38			
					SAT 30 GaZ SKO 26°56'52" SCH 26°56'52" A*	URA 120 CER WID 12°48'43" SCH 12°48'43" A*			
					23:49	23:28			
					MER 144 ERI SKO 28°14'46" WID 22°14'46" H +1	<b>SAT 30 VES</b> SKO 27°04'16" SCH 27°04'16" H* 0 / +10			

## November 2014: Fehlprognosen

Datum	Vorzeichen Symbol	Analyse
4.	+5 5 hr	T-System Pia mit Kernen über Iberien, Großbritannien, Süd- und Nordskandinavien. : Am 3. bewegte sich konform mit dem negativen Premeteo-Index das mächtige Tief Pia vom Nordatlantik nach Westeuropa und bedeckte am 4. ganz Europa bis nach Russland. Der Premeteo-Index bewegte sich vom 4. bis zum 6. wieder im flach positiven Bereich, doch waren dieser Tiefdruckphase zu Beginn des Monats starke T-Impulse vorausgegangen, die sich am 1. und 2. Oktober noch nicht hatten durchsetzen können. <b>Flacher Index.</b>
5.	+5 5 hr	Tief Pia I über Benelux. <b>Flacher Index.</b> S. o.
9.	+9 3 r	Tief Roswitha mit Kernen über Großbritannien, Westfrankreich und Pyrenäen. <b>Flacher Index.</b>
10.	+6 5 hr	Flacher Druckgradient zwischen dem okkludierten Tief Roswitha über dem Nordmeer und flachem Tiefdruck über dem Mittelmeer-Raum. <b>Flacher Index.</b>
12.	+2 5 hr	Tief Stefanie über dem Atlantik. <b>Flacher Index.</b>
15.	+7 5 hr	Tief Stefanie über dem Atlantik. <b>Flacher Index.</b> Im Index 2 gab es eine Symmetrie, an dem der Aspekt Eris 135° Orcus beteiligt war, dessen Impuls noch unbekannt ist.
17.	+28 5 f	Tief Thea über Nordsee. Der weitere zyklonale Verlauf des Wetters am 17. und 18. bei hohem positiven Premeteo-Index, weil Eris auch noch an den 120°-H-Symmetrien mit Jupiter und Vesta beteiligt war, lässt einen T-Impuls für Orcus 135° Eris wahrscheinlich werden. Auffallend war für diese Fehlprognosestage auch das mehrfache Auftreten von Vesta-H*-Aspekten an insgesamt fünf Symmetriebildungen, die den Index nach oben trieben, aber in der Realität völlig wirkungslos blieben. Zu nennen wäre hier die Symmetrie Varuna 144° Neptun, Vesta. Zugleich war aber auch der Aspekt Varuna 150° Galaktisches Zentrum fast-exakt, der mit großer Wahrscheinlichkeit einen starken Tiefdruck-Impuls hat. Die Verknüpfung der unsicheren, aber hochrangigen, fast-exakten Aspekte von Eris und Varuna mit den aktivierten Symmetrien könnte die Fehlprognose verursacht haben. <b>Das heißt, bei der Bewertung der Symmetrien müsste eventuell ähnlich wie bei den Konjunktionen darauf geachtet werden, dass vor allem der ranghöchste an der Symmetrie beteiligte Planet nicht gerade einen fast-exakten, noch höher rangigen Aspekt mit gegenteiligem Impuls bildet!</b>
22.	-3 5 hr	Hoch Robin über Russland mit weiterem Kern über Ostalpen. <b>Einzelner negativer Tag und flacher Index.</b>
29.	-8 2-5 r	Hoch Robin über Russland. <b>Flacher Index. Alternativer Index richtig.</b> Es war richtig gewesen, Vesta 0° GaZ H* am 27. wegen der Auslösung Varuna 150° GaZ T?* nicht zu berechnen, aber es fällt auf, dass, als am 29. Vesta 150° Varuna H* exakt wird, die Region doch wieder in den Einflussbereich von Hoch Robin über Russland kam, das seine Laufbahn schon am 12. November, vom Nordmeer einwandernd, begonnen hatte.